

Coeficientul de zveltețe și stabilitatea individuală a arborilor de molid

Francisc Grudnicki

1. Coeficientul de zveltețe, factor de stabilitate

1.1. Stabilitatea molizilor

Arborii, în timpul existenței lor, sunt supuși în permanență acțiunilor mecanice, de care depinde stabilitatea lor mecanică și implicit, stabilitatea biologică. Greutatea proprie, masele de aer în mișcare cu sau fără precipitații solcită arborii, în special la încovoiere și compresiune.

Intensitatea acestor forțe, corelate cu alți factori specifici, afectează stabilitatea molizilor, așa cum este prezentat în figura 1.

1.2. Coeficienții de zveltețe

Coeficienții de zveltețe (subțirime), exprimă distribuția în spațiu a biomasei fusului. Se cunosc două tipuri de coeficienți de zveltețe: dendrometric și mecanic.

Expresia matematică a coeficientului de zveltețe dendrometric λ_d este raportul dintre înălțimea fusului h (m) și diametrul de bază d (cm):

$$\lambda_d = \frac{h}{d} (\text{m} \cdot \text{cm}^{-1}) \quad (1.1)$$

Acest coeficient dimensional, transfor-

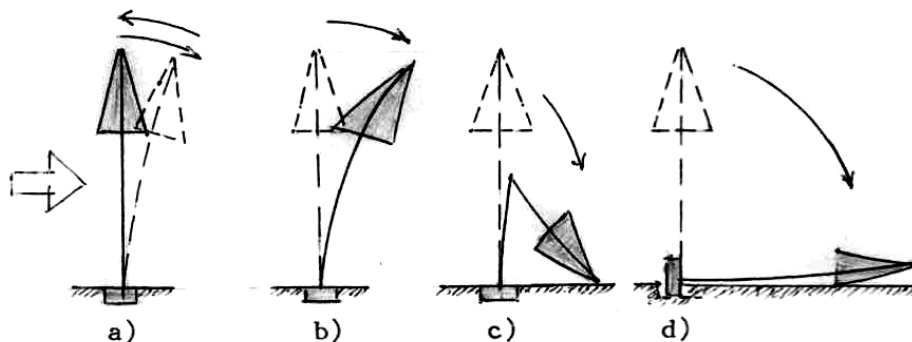


Fig. 1.1. Forme de instabilitate a molizilor: (a) încovoierea și flambajul elastic al fusului, caz în care fusul își revine la poziția verticală inițială, (b) încovoierea și flambajul plastic al fusului, caz în care fusul rămâne deformat, (c) ruperea fusului și (d) răsturnarea molidului prin deșrădăcinare

mat în coeficient de zveltețe adimensional λ este:

$$\lambda = \frac{h(m)}{d(m)} = 100\lambda_d \quad (1.2)$$

Coeficientul de zveltețe mecanic λ_m este raportul dintre lungimea de flambaj l_f (m) a fusului și raza de girație i (m) a secțiunii transversale:

$$\lambda_m = \frac{l_f}{i} \quad (1.3)$$

Pentru o bară de lungime h , încastrată la o extremitate și liberă la cealaltă extremitate, lungimea de flambaj este:

$$l_f = \mu h \quad (1.4)$$

unde: μ - coeficient care depinde de forma barei și de modul de încărcare a acesteia.

Raza de girație este rădăcina pătrată a raportului dintre momentul de inerție axial I (m⁴) și aria A (m²) a secțiunii transversale. Pentru o secțiune circulară de diametru d raza de girație este:

$$i = \frac{d}{4} \text{ (m)} \quad (1.5)$$

așa încât:

$$\lambda_m = 4\mu \frac{h}{d} = 4\mu\lambda = 400\mu\lambda_d \quad (1.6)$$

1.3. Variabilitatea coeficientului de zveltețe

Din relațiile (1.1), (1.2) și (1.6) rezultă în mod evident că mărimile coeficienților de zveltețe sunt în funcție de mărimile lui h și d . Aceste mărimi depind însă, la rândul

lor, de ritmul lor de creștere, respectiv de clasa de producție a arboretelor, de vârstă etc. Un prim exemplu de variabilitate a coeficientului de zveltețe dendrometric este redat în tabelul 1, în care valorile medii ale acestui coeficient, în funcție de clasa de producție și de vârstă, au ca bază de calcul înălțimile și diametrele din tabelele de producție.

Un al doilea exemplu de variabilitate, în funcție de diametrul de bază, este redat de graficul din figura 1.2, ca urmare a măsurătorilor efectuate în U.P. IV, u.a. 74C din Ocolul silvic Coșna, D.S. Suceava, prin aplicarea ecuației de regresie (Horodnic, 1999):

$$y = \frac{I}{x} [12,718 \ln(x) - 13,357] \quad (1.7)$$

unde: $y = \lambda_d$ și $x = d$.

Arboretul din u.a. 74 C avea vârsta de 70 de ani, clasa a 2-a de producție, consistența 0,7, elagajul 0,5, diametrul mediu 28,0 cm și înălțimea medie 27,5 m, deci un coeficient de zveltețe mediu de 0,982 m·cm⁻¹.

Din exemplele expuse, rezultă următoarele: (i) coeficientul de zveltețe descrește cu creșterea vârstei, clasa de producție și cu diametrul de bază; (ii) coeficientul de zveltețe este maxim la vârsta de 20-25 ani; (iii) molizii din clasa I-a de producție sunt cei mai zvelți; (iv) diferența dintre valoarea maximă și cea minimă este cea mai mare la clasa I-a de producție și cea mai mică la molizii din arboretele din clasa a V-a de producție.

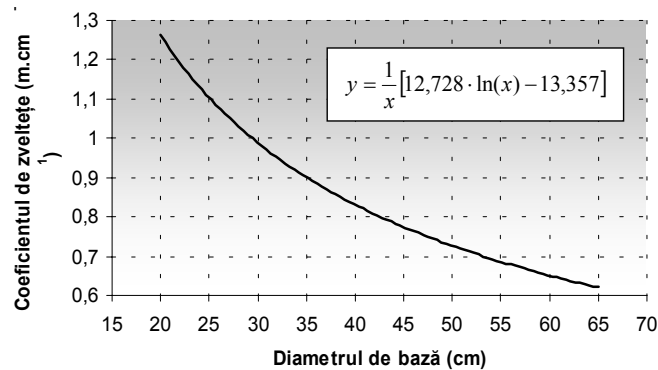
2. Modelul matematic al molidului

2.1. Modelul fusului

Ca model matematic, pentru fusul molidului se iau în considerare trei forme

Tabelul 1. Valorile medii ale coeficientului de zveltețe din tabelele de producție

Clasa de producție	Vârsta (ani)					
	20	40	60	80	100	120
I	1,154	1,080	0,993	0,918	0,874	0,797
II	1,088	1,048	0,963	0,930	0,830	0,787
III	1,026	1,006	0,956	0,874	0,817	0,774
IV	0,960	0,952	0,909	0,845	0,782	0,741
V	0,870	0,863	0,861	0,797	0,744	0,704

**Fig. 1.2.** Variația coeficientului de zveltețe în funcție de diametrul de bază

cunoscute: cilindrul - ca formă de referință, paraboloidul apolonici și conul (fig. 2a).

Considerăm un fus de volum V , înălțime h și diametrele de bază aferente celor trei forme d_1 , d_2 și d_3 . Volumele și diametrele acestor trei forme sunt prezentate în continuare (relațiile 2.1). Astfel,

- pentru cilindru:

$$V = \frac{\pi}{4} d_1^2 h \quad d_1 = 2 \sqrt{\frac{V}{\pi h}}$$

- pentru paraboloid:

$$V = \frac{\pi}{8} d_2^2 h \quad d_2 = 2 \sqrt{\frac{2V}{\pi h}} = d_1 \sqrt{2}$$

- pentru con:

$$V = \frac{\pi}{8} d_3^2 h \quad d_3 = 2 \sqrt{\frac{3V}{\pi h}} = d_1 \sqrt{3}$$

Din relațiile (2.1) rezultă că:

$$d_1 < d_2 < d_3 \quad (2.2)$$

însă

$$\lambda_1 = \frac{h}{d_1}; \lambda_2 = \frac{h}{d_2} = \frac{\lambda_1}{\sqrt{2}}; \lambda_3 = \frac{h}{d_3} = \frac{\lambda_1}{\sqrt{3}} \quad (2.3)$$

Rezultă că:

$$\lambda_1 > \lambda_2 > \lambda_3 \quad (2.4),$$

adică cilindrul este mai zvelt decât paraboloidul și conul.

Din punctul de vedere al coeficientului de formă, la fusul molidului acesta variază

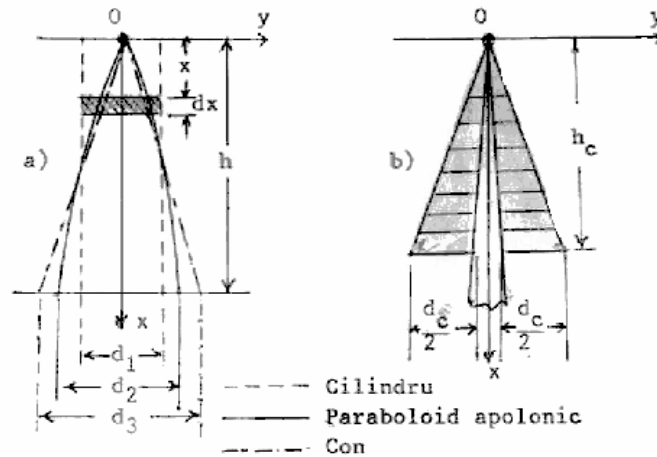


Fig. 2.1. Variația coeficientului de zveltețe funcție de diametrul de bază

între 0,580 la arborii tineri și 0,325 la cei bătrâni (Leahu, 1994).

Cum însă coeficientul de formă al paraboloidului este 0,500, iar al conului 0,333, iar din punct de vedere biomecanic sunt cvasiforme de egală rezistență la încovoiere și compresiune, adoptarea lor ca modele pentru fusul molidului este justificată.

Ecuțiile curbelor de contur pentru aceste două forme sunt:

- pentru paraboloidul apolonnic

$$y^2 = px = \frac{d_2^2}{h} x = \frac{8V}{\pi h^2} x \quad (2.5)$$

- pentru con

$$y^2 = px^2 = \frac{d_2^2}{h^2} x^2 = \frac{12V}{\pi h^3} x^2 \quad (2.6)$$

2.2. Modelul coronamentului

Pentru coronament, modelul matematic este un con echivalent compact, de înălțime h_c , diametru d_c și volum V_c (fig. 2.1b).

Având în vedere proporțiile volumelor fusului cu coajă și al crăcilor, față de volumul suprateran, rezultă că volumul crăcilor este de aproximativ 10 % din volumul fusului, adică $V_c = 0,1V$, volum con-centrat în conul de înălțime $h_c = 0,1h$.

În acest caz, diametrul conului d_c este:

$$d_c = 2 \sqrt{\frac{3V_c}{\pi h_c}} = 2 \sqrt{\frac{0,3V}{0,1h}} = d_1 \sqrt{3} \quad (2.7)$$

3. Sarcinile care solicită molidul

3.1. Forțele active

3.1.1. Greutatea molidului

Greutatea totală a molidului G_t , este formată din greutatea fusului G_f , greutatea coronamentului G_c și G_r , care este greutatea cioatei plus a sistemului radicular (rădăcinile + solul aferent) (fig. 3.1):

$$G_t = G_f + G_c + G_r \quad (3.1)$$

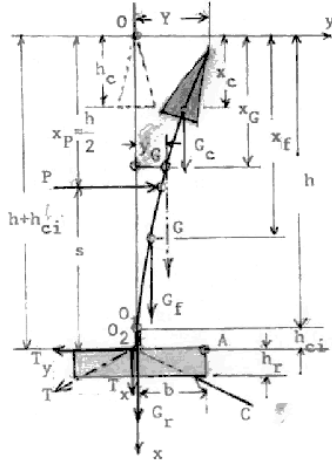


Fig. 3.1. Sarcinile care soliciță molidul

Deoarece greutatea specifică a crăcilor este dublă față de cea a fusului, adică $\gamma_c = 2\gamma$, iar $V_c = 0,1V$, rezultă că greutatea fusului plus a coronamentului G , este:

$$G = G_f + G_c = 1.2\gamma V = 0,3\pi\gamma d_1^2 h \quad (3.2)$$

$$G_f = \gamma \frac{\pi}{4} d_1^2; G_c = \gamma \frac{\pi}{20} d_1^2 h \quad (3.3)$$

și $x_f = h/2$ pentru cilindru, $x_f = 2h/3$ pentru paraboloid și con, iar pentru coronament $x_c = 2h/30$.

Punctul de aplicație al forței G , conform teoremei momentelor este:

$$x_G = \frac{G_f x_f + G_c x_c}{G} \quad (3.4)$$

Din relația (3.4) rezultă pentru cilindru $x_G = 0,428h$, iar pentru paraboloid și con $x_G = 0,567h$.

3.1.2. Forța de presiune a vântului

Presiunea dinamică a vântului într-un punct este:

$$p = \frac{1}{2} \rho C v^2 \quad (3.5)$$

unde: ρ - densitatea aerului, care depinde de gradul de încărcare a atmosferei cu precipitații, alte particule etc.; C - coeficient care depinde de forma corpului care în cazul formelor adoptate are valoarea $C = 1,0$; v - viteza vântului, care crește cu înălțimea arborelui.

De exemplu, dacă la înălțimea de 10 m de la sol presiunea vântului este de 500 Nm^{-2} , la înălțimea de 40 m este de 740 Nm^{-2} , creșterea fiind aproape liniară.

Având în vedere că suprafața de contact a fusului și coronamentului descrește cu înălțimea, în timp ce viteza crește cu înălțimea, în calculul presiunii și al forțelor de presiune se adoptă o viteză medie constantă pe toată înălțimea.

În acest context, forța elementară de presiune $dP(x)$ este $dP(x) = p dA(x)$ (fig. 2.1a),

$$\text{unde: } dA = \frac{1}{2} \pi d(x) dx \quad (3.6)$$

deci:

$$dP(x) = \frac{1}{2} \pi p d(x) dx = a d(x) dx \quad (3.7)$$

$$\text{unde: } a = \frac{1}{2} \pi p = \frac{1}{4} \pi \rho v^2 \quad (3.8)$$

Rezultanta forțelor de presiune a vântului P este:

$$P = a \int_A d(x) dx \quad (3.9)$$

Rezultantele forțelor de presiune a vântului P_i ($i = 1-3$), pentru cele trei forme ale fusului și coronamentului sunt:

- pentru cilindru:

$$P_1 = ad_1 h = ad_1^2 \lambda_1$$

- pentru paraboloid:

$$\begin{aligned} P_2 &= \frac{1}{3} ad_2 h = \frac{\sqrt{2}}{3} ad_1 h = \\ &= \frac{\sqrt{2}}{3} ad_1^2 \lambda_1 = 0,47 P_1 \end{aligned} \quad (3.10)$$

- pentru con:

$$\begin{aligned} P_3 &= \frac{1}{4} ad_3 h = \frac{\sqrt{3}}{4} ad_1 h \\ &= \frac{\sqrt{3}}{4} ad_1^2 \lambda_1 = 0,43 P_1 \end{aligned}$$

Centrul de presiune al acestor rezultante este: $x_f = \frac{h}{2} = 0,5h$.

Se observă că $P_1 > P_2 > P_3$, adică forma cilindrică este solicitată mai mult decât cea parabolică și conică, care sunt foarte apropiate.

Rezultanta forțelor de presiune pe coronament este:

$$\begin{aligned} P_c &= \frac{1}{4} ad_c h_c = \frac{\sqrt{3}}{40} ad_1 h \\ &= \frac{\sqrt{3}}{40} ad_1^2 \lambda_1 = 0,043 P_1 \end{aligned} \quad (3.11)$$

având centrul de presiune la $x_c = 0,5h_c = 0,05h$.

3.2. Forțele de legătură (pasive)

Sistemul radicular al arborilor forestieri poate fi asimilat cu o fundație, având o structură foarte complexă, formată din biomasa rădăcinilor și solul aferent. În acest sistem, rădăcinile formează o rețea complexă de armare a terenului și de ancorare în acesta.

Lungimea rețelei rădăcinilor crește cu vârsta. Astfel, la un molid cu diametrul de bază de 8 cm, lungimea rețelei (fără lungimea ramificațiilor firelor radicare este de 4200 m, iar la un diametru de bată de 40 cm este de 33.500 m.

Conform principiului acțiunii și reacțiunii, sub efectul forțelor active, sistemul radicular este solicitat la tracțiune și compresiune. Astfel, forțele de legătură sunt reprezentate de: rezultanta T a forțelor elementare de tracțiune, care reprezintă capacitatea de ancorare a sistemului radicular în terenul aferent, rezultanta C a forțelor elementare de compresiune ale sistemului radicular și terenul aferent (fig. 3.1).

Cunoscându-se solicitările mecanice, este foarte importantă cunoașterea comportamentului molizilor în funcție de forma și coeficientul de zveltețe al fusului.

4. Încovoierea fusului

4.1. Deformația fusului

Sub acțiunea vântului, axa fusului se deformează. Fusul se consideră încastrat la nivelul cioatei, fiind solicitat la o sarcină echivalentă uniform distribuită:

- pentru fus pe înălțimea h (fig. 4.1a):

$$q_i = \frac{P_i}{h} \quad (i = 1-3) \quad (4.1)$$

pentru coronament pe înălțimea h_c

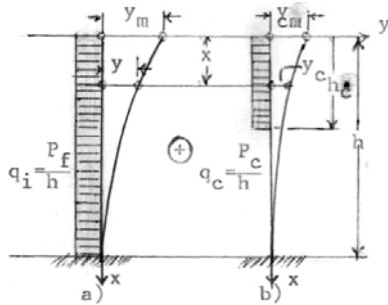


Fig. 4.1. Axa deformată a fusului.

(fig. 4.1b):

$$q_c = \frac{P_c}{h_c} \quad (4.2)$$

Având în vedere relațiile (3.10), (3.11), (4.1) și (4.2) se obține, pentru cele trei forme ale fusului, intensitatea sarcinii echivalente uniform distribuite q_i :

$$q_1 = ad_1; \quad q_2 = \frac{\sqrt{2}}{3} q_1 = 0,47q_1;$$

$$q_3 = \frac{\sqrt{3}}{4} q_1 = 0,43q_1; \quad q_c = 0,043q_1 \quad (4.3)$$

din care rezultă că $q_1 > q_2 > q_3$.

Aplicând ecuația diferențială a axei deformată a fusului:

$$EI(x)y'' = -M(x) \quad (4.4)$$

unde: E - modulul de elasticitate longitudinală a fusului; $I(x)$ - momentul de inerție axial geometric al secțiunii (x), care este variabil la paraboloid,

$$I(x) = I \frac{x}{h^2}, \text{ în timp ce la con}$$

$$I(x) = I \frac{x}{h},$$

unde: I - momentul de inerție a secțiunii de bază; $M(x)$ - momentul de încovoiere în secțiunea (x);

Se obțin următoarele ecuații ale axei deformată a fusului, pentru cazul din figura (4.1.a), cât și săgeata maximă y_m de la vârf:

- pentru cilindru:

$$y_1 = \frac{32q_1}{\pi E d_1^4} \left(\frac{x^4}{12} - \frac{h^3}{3} x + \frac{h^4}{4} \right)$$

$$y_{1m} = \frac{8q_1}{\pi E} \lambda_1^4 = 8K_s \quad (4.5)$$

- pentru paraboloid:

$$y_2 = \frac{32q_2 h^2}{\pi E d_2^4} \left(\frac{x^2}{2} - hx + \frac{h^2}{2} \right) ;$$

$$y_{2m} = \frac{16q_2}{\pi E} \lambda_2^4$$

$$= \frac{4\sqrt{2}}{3} \frac{q_1}{\pi E} \lambda_1^4 = 1,886K_s \quad (4.6)$$

- pentru con:

$$y_3 = \frac{32q_3 h}{\pi E d_3^4} \left(\frac{x^3}{6} - \frac{h^2}{2} x + \frac{h^3}{3} \right) ;$$

$$y_{3m} = \frac{32q_3}{\pi E} \lambda_3^4 = \frac{8\sqrt{3}}{9} \frac{q_1}{\pi E} \lambda_1^4 = 1,540K_s \quad (4.7)$$

Rezultă că: $y_{1m} > y_{2m} > y_{3m}$ (4.8)

unde:

$$K_s = \frac{q_1 \lambda_1^4}{\pi E} \quad (4.9)$$

Ecuația axei deformată a fusului pentru cazul din figura (4.1b) și săgeata maximă aferentă, este:

$$y_{ci} = \frac{32q_c h_c}{\pi \cdot Ed_i^4} \left\{ \frac{x^3}{3} - \left(h - \frac{h_c}{2}\right)^2 + \frac{2h^3}{3} - \frac{hh_c}{4}(4h - h_c) \right\} = \frac{32q_c h_c}{\pi \cdot Ed_i^4} f_c \{x\}$$

cu $i = 1-3$ (4.8)

unde $y_{c1m} = 0,0789K_s$; $y_{c2m} = 0,0195K_s$;
 $y_{c3m} = 0,0087K_s$ (4.10)

Suprapunând efectele celor două solicitări ($Y_i = y_{im} + y_{cim}$), săgeata maximă totală Y_i este: $Y_1 = 8,078K_s$ (cilindru), $Y_2 = 1,906K_s$ (paraboloid) și $Y_3 = 1,549K_s$ (con) relația (4.11)

așa încât: $Y_1 > Y_2 > Y_3$ (4.12)

Din cele expuse, deformația maximă a fusului este dată de relația generală:

$$Y = k \frac{q}{E} \lambda^4 = K \lambda^4 \div K = k \frac{q}{E} \quad (4.13)$$

Reprezentând grafic relația (4.12) și având în vedere variația coeficientului de

zveltețe în funcție de vârstă și clasa de producție, rezultă următoarele:

(i) deformația maximă a fusului crește liniar cu intensitatea vântului q și cu coeficientul de zveltețe λ la puterea a patra;

(ii) la o viteză a vântului dată, la arborii tineri forța de presiune este mai mică decât la arborii în vârstă, în schimb coeficientul de zveltețe este mai mare la cei tineri și mai mic la cei în vârstă, ceea ce înseamnă că molizii prin forma lor naturală, își asigură stabilitatea;

(iii) deformația fusului la încovoiere este maximă în general la molizii de 25 ani din clasa 1-a de producție și minimă la cei de 120 ani, din clasa a 5-a de producție;

(iv) forma cilindrică a fusului se deformează mult, în comparație cu fusul în formă de paraboloid și con, ale căror deformații sunt foarte apropiate, ceea ce demonstrează încă odată, că natura își creează forme optime la solicitările mecanice;

(v) mărimea deformației variază invers proporțional cu mărimea modulului de elasticitate longitudinală E . Acesta depinde însă de specie, greutatea specifică aparentă, umiditate, temperatură, direcția solicitării în

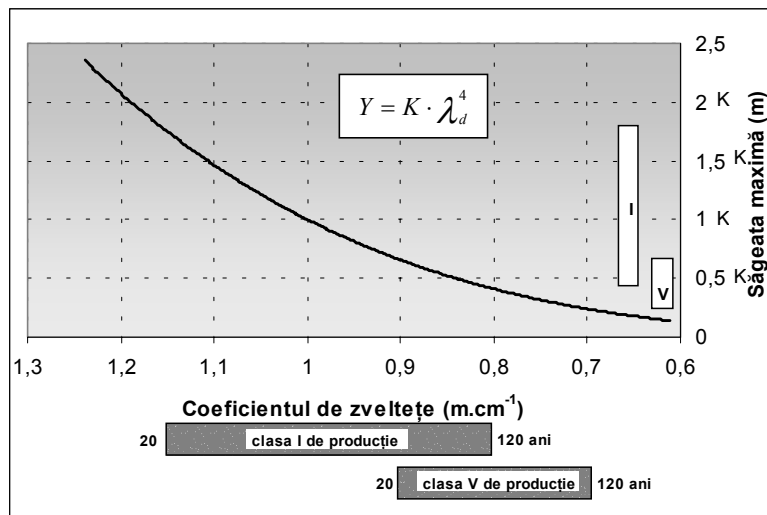


Fig. 4.2. Variația deformației maxime

raport cu fibrele, lemnului timpuriu-târziu, defecte, etc. Modulul E crește cu greutatea specifică, caz în care deformația scade, dar același modul scade cu creșterea umidității, caz în care deformația crește. Lemnul târziu are modul mai mare ca lemnul timpuriu.

4.2. Încovoierea fusului în domeniul elastic și plastic

Formula lui Navier:

$$\sigma = \frac{M}{w} \quad (4.14)$$

redă relațiile dintre solicitări și tensiunile axiale, unde: σ - efortul unitar axial;

$$M = \frac{1}{2}qh^2 - \text{momentul maxim de}$$

încovoiere;

$$w = \frac{\pi d^3}{32} - \text{modulul de elasticitate}$$

axial, așa încât relația (4.14) devine:

$$\sigma = \frac{16qh^2}{\pi d^3} \cdot \frac{h}{h} = \frac{16q}{\pi h} \lambda^3, \text{ de unde}$$

$$\lambda = \sqrt[3]{\frac{\pi h}{16q} \sigma} \quad (4.15)$$

Pentru $\sigma < \sigma_p$ = limita de plasticitate, deformația fusului este elastică.

Pentru $\sigma \geq \sigma_p$, deformația fusului este plastică (permanentă) (fig. 4.3), caz în care coeficientul de zveltețe devine coeficient de zveltețe critic la încovoiere λ_{cri}

$$\lambda_{cri} = \sqrt[3]{\frac{\pi h}{16q} \sigma_p} \quad (4.16)$$

Fusul rămâne permanent deformat, cu săgeata maximă critică Y_{cri} .



Fig. 4.3. Încovoiere plastică

$$Y_{cr} = k \frac{q}{E} \lambda_{cri}^4 \quad (4.17)$$

Ruperea fusului se produce în orice secțiune transversală în care:

$$\sigma_{efectiv} \geq \sigma_{rupere}$$

5. Flambajul fusului

5.1. Sarcina critică de flambaj

Fusul molidului, pe lângă greutatea proprie și a coronamentului este solicitat adesea, în plus, și de greutatea precipitațiilor, sub diverse forme, particule, etc., caz în care sub acțiunea acestor solicitări poate să flambeze și chiar să cedeze la rupere.

Greutatea totală la care poate flamba fusul (fig. 5.1), în care este inclusă și greutatea precipitațiilor, este dată de sarcina critică de flambaj și este formată din:

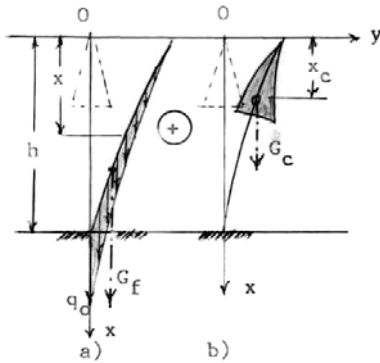


Fig. 5.1. Sarcinile la flambaj

- greutatea proprie a fusului G_f ca resultantă a sarcinii continue distribuită liniar de la bază la vârf (5.1.a):

$$q_x = q_0 \frac{x}{h}; \quad G_f = \frac{1}{2} q_0 h$$

$$\text{de unde: } q_0 = \frac{2G_f}{h} \quad (5.1)$$

- greutatea coronamentului G_c ca sarcină concentrată în centrul de greutate al coronamentului (fig. 5.1b):

$$G_c = 0,2G_f \quad (5.2)$$

Se cunoaște că sarcina critică la flambaj este dată de relația:

$$G_{cr} = \frac{\pi^2 EI}{l_f^2} \quad (5.3)$$

unde: l_f - lungimea de flambaj, care în cazul încastrării la o extremitate și a sarcinilor din figura (5.1) este:

$$l_f = 0,782h \text{ pentru } G_f \text{ și}$$

$$l_f = 2(h - x_c) = 1,867h \text{ pentru } G_c \quad (5.4)$$

Pentru forma cilindrică a fusului de volum V , înălțime h și diametru d_1 , care are coeficientul de zveltețe mai mare decât paraboloidul și conul, prin suprapunerea efectelor, sarcina critică de flambaj este:

$$\begin{aligned} G_{1cr} &= \frac{\pi^2 EI_1}{(0,782h)^2} + \frac{\pi^2 EI_1}{(1,867h)^2} = \\ &= \frac{\pi^2 E}{8} \cdot \frac{\pi d_1^2}{4} \cdot \frac{d_1^2}{h^2} = \frac{\pi^2 E}{8} \cdot \frac{A_1}{\lambda_1^2} \end{aligned} \quad (5.5)$$

$$G_{cr} = k_f \frac{EA}{\lambda^2} = \frac{K_1}{\lambda^2}; \quad K_f = k_f EA \quad (5.6)$$

de unde coeficientul de zveltețe critic la flambaj,

$$\lambda_{1cr} = \pi \sqrt{\frac{EA_1}{8G_{1cr}}} \quad (5.7)$$

Pentru cazul în care secțiunea este variabilă, sarcina critică de flambaj este:

$$G_{cr} = \varphi \frac{\pi^2 EI}{l_f^2} \quad (5.8)$$

unde φ - coeficient adimensional, funcție de variația secțiunii în lungul axe.

Avem următoarele sarcini critice de flambaj:

- pentru paraboloid:

$$G_{2cr} = \varphi_2 \frac{\pi^2 E}{4} \cdot \frac{A_2}{\lambda_1^2}$$

- pentru con:

$$G_{3cr} = \varphi_3 \frac{3\pi^2 E}{8} \cdot \frac{A_3}{\lambda_1^2} \quad (5.9)$$

Însă $\varphi > 1$, iar $A_3 > A_2 > A_1$, așa încât

$$G_{3cr} > G_{2cr} > G_{1cr}. \quad (5.10)$$

Rezultă deci, că pentru un fus de volum V și înălțime h , forma conică preia sarcina critică de flambaj cea mai mare.

Din relațiile 5.5, 5.6 rezultă că sarcina critică flambaj crește cu scăderea coeficientului de zveltețe, la puterea a doua (fig. 5.2).

5.2. Flambajul în domeniul elastic și plastic

Flambajul în domeniul elastic, are loc când:

$$\sigma_f = \frac{G_{1cr}}{A_1} = \frac{\pi^2}{8} \cdot \frac{E}{\lambda_{1cr}^2} \leq \sigma_p \quad (5.11)$$

$$\lambda_{2crf} = \pi \sqrt{\frac{\varphi_2 E}{4\sigma_p}}$$

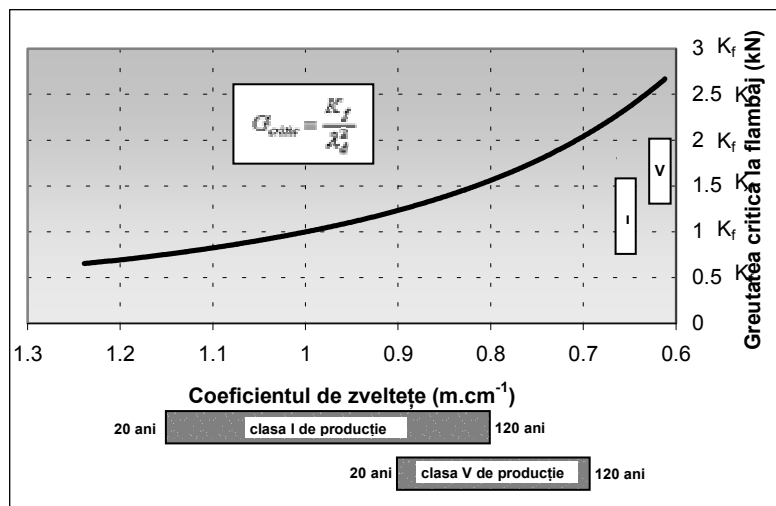


Fig. 5.2. Variația sarcinii critice de flambaj funcție de λ

adică:

$$\lambda_{1crf} = \pi \sqrt{\frac{E}{8\sigma_p}}; \lambda_{3crf} = \pi \sqrt{\frac{3\varphi_3 E}{8\sigma_p}} \quad (5.12)$$

Peste această limită, fusul molidului rămâne deformat în domeniul plastic care în cazul că este depășit, evident că se va rupe.

6. Stabilitatea molizilor la răsturnare (dezrădăcinare)

6.1. Săgeata centrului de greutate a greutății G

Săgeata centrului de greutate a forței G rezultă din relațiile 4.5-4.8, în care se înlocuiește x cu $x_G = ah$ ($0 < a < 1$). Pentru cilindru, $\alpha = 0,476h$, iar pentru paraboloid și con, $\alpha = 0,567h$, astfel încât:

$$\begin{aligned} y_{1G} &= 3,040 \frac{q_1 \lambda_1^4}{\pi E} \\ y_{2G} &= 0,335 \frac{q_1 \lambda_1^4}{\pi E} \\ y_{3G} &= 0,116 \frac{q_1 \lambda_1^4}{\pi E} \end{aligned} \quad (6.1)$$

6.2. Stabilitatea la răsturnare

Având în vedere schema de sarcini la care este supus molidul (forțe active și forțe pasive), condițiile de stabilitate la răsturnare (dezrădăcinare) sunt:

- momentul de stabilitate M_s (al forțelor stabilizatoare în raport cu punctul A ,) să fie mai mare ca momentul de răsturnare M_r (al

forțelor destabilizatoare în raport cu punctul A);

$$M_s \geq M_r \quad (6.2)$$

- capacitatea de ancorare a sistemului radicular T să fie mai mică decât cea de rupere T_r și mai mare ca zero:

$$0 \leq T \leq T_r \quad (6.3)$$

În momentul în care $M_s = M_r$ și $T = 0$, rezultanta C din sistemul radicular are punctul de aplicație în A , care devine o articulație ancorată, pe timpul mișcării de răsturnare.

În funcție de mărimea săgeții y_G , distingem trei situații în mișcarea de răsturnare:

1) Când $y_G < b$

$$\begin{aligned} M_s &= G(b - y_G) + (T_x + G_r)b, \\ M_r &= Ps \end{aligned} \quad (6.4)$$

Forța G este o forță stabilizatoare.

2) Când $y_G = b$:

$$\begin{aligned} M_s &= (T_x + G_r)b \\ M_r &= Ps \end{aligned} \quad (6.5)$$

Momentul forței G este nul.

3) Când $y_G > b$

$$\begin{aligned} M_s &= (T_x + G_r)b \\ M_r &= Ps + G(y_G - b) \end{aligned} \quad (6.6)$$

Forța G este o forță destabilizatoare.

În relațiile 6.4-6.5, s este brațul de pârghie al rezultantei P , adică:

$$s = h - x_P + h_{cioată}.$$

Relațiile (6.1) au expresia generală:

$$y_G = K_i \lambda_i^4 \quad (6.7)$$

Când $y_G = b$, coeficientul de zveltețe de-

vine critic:

$$\lambda_{icr} = \sqrt[4]{\frac{b}{K_i}} \quad (6.8)$$

Forța G devine forță destabilizatoare.

Din relațiile 6,4-6,7 rezultă că M_s și M_r sunt funcții liniare de y_G și, respectiv, de λ_l .

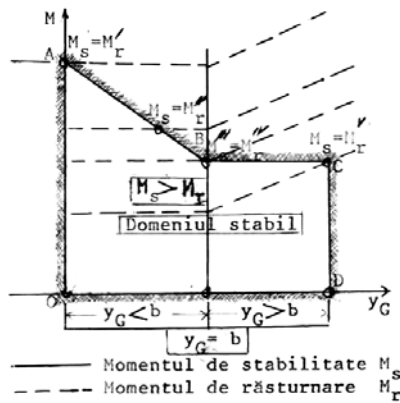


Fig. 6.1. Variația lui M_s și M_r în funcție de y_G

Rezultă că, în domeniul $y_G < b$, M_s descrește, iar M_r este constant, în schimb în domeniul $y_G > b$ M_s este constant, iar M_r crește.

Din figura 6.1 se observă că stabilitatea molidului la răsturnare este asigurată atunci când mărimile M_s și M_r se află în interiorul domeniului OABCD.

Bibliografie

- Danciu, M., Parascan, D., 2003. Botanică forestieră, Editura „Pentru Viață”, Brașov.
Giurgiu, V., et.al., 1972. Biometria arborilor și arboretelor din România. Editura Ceres, București.

- Giurgiu, V., Decei, I., 1997. Biometria arborilor din România, Editura Snagov, București.
Grudnicki, F., 2003. Bazele stabilității arborilor forestieri. Editura Universității “Ștefan cel Mare” Suceava.
Horodnic, S., 1999. Cercetări privind structura arboretelor echiene de molid în raport cu densitatea lemnului. Teză de doctorat, Universitatea “Ștefan cel Mare”, Suceava.
Leahu, I., 1994. Dendrometrie. Editura Didactică și Pedagogică, București.
Redlov, T., 1969. Curs general de rezistența materialelor. Institutul Politehnic Brașov.
Zarojanu, D., 2004. Mecanica pământurilor pentru infrastructuri de instalații de transport forestiere. Editura AGIR, București.

Autorul. Ing. Francisc Grudnicki activează în calitate de cadru didactic asociat la Universitatea „Ștefan cel Mare” Suceava, Facultatea de Silvicultură. Poate fi contactat prin intermediul redacției.